

НАПРЯЖЕННОЕ СОСТОЯНИЕ КУСОЧНО-ОДНОРОДНОЙ ПЛОСКОСТИ, СОДЕРЖАЩЕЙ ПОЛОСУ С ДВУМЯ ОДИНАКОВЫМИ КРУГОВЫМИ ОТВЕРСТИЯМИ

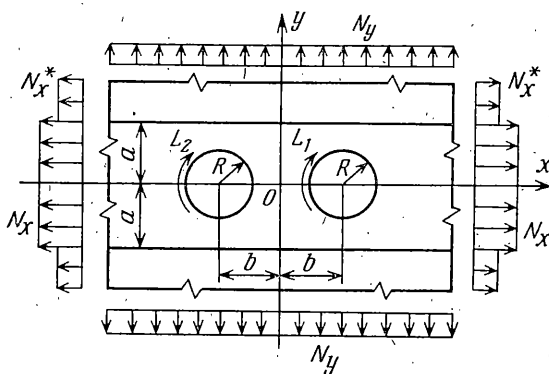
Н. И. МИРОНЕНКО

(Алма-Ата)

Исследуется напряженное состояние кусочно-однородной плоскости в зависимости от соотношения модулей сдвига полуплоскостей и полосы, скрепленных между собой. Рассматривается также предельный случай однородной плоскости с двумя одинаковыми круговыми отверстиями; последняя задача исследовалась многими авторами в том числе и Д. И. Шерманом [1, 2], метод которого [2, 3] (в сочетании с интегральным преобразованием Фурье) применяется здесь. На основании полученных теоретических результатов проведен численный анализ напряженного состояния кусочно-однородной и однородной плоскостей. В последнем случае наблюдается очень хорошее совпадение с результатами [1, 2] и других авторов.

1. Пусть напряженное состояние плоскости на бесконечности таково: N_x , N_x^* и N_y , где N_x , N_y — напряжения в полосе (см. фигуру), N_x^* , N_y — напряжения в полуплоскостях, причем все эти величины предполагаются постоянными; N_x и N_x^* , как увидим дальше, связаны некоторой зависимостью.

Для решения задачи расчленим плоскость на отдельные элементы: полосу ($|y| \leq a$), верхняя ($y > a$) и нижняя ($y < -a$) полуплоскости. В силу



симметрии будем рассматривать только верхнюю полуплоскость и полосу. Граничные условия для верхней полуплоскости на линии $y=a$ таковы ($X_x^{(1)}$, $Y_y^{(1)}$, $X_y^{(1)}$ — напряжения в верхней полуплоскости):

$$Y_y^{(1)} = N_y + Y_y^{(2)}, \quad X_y^{(1)} = X_y^{(2)} \quad (1.1)$$

где $Y_y^{(2)}$ и $X_x^{(2)}$ определяются из условий на линии контакта и стремятся к нулю (а $X_x^{(1)} \rightarrow N_x^*$) при $x \rightarrow \pm\infty$, $y \rightarrow \infty$:

$$\int_0^{\infty} X_y^{(2)} dx < \infty, \quad \int_{-\infty}^{\infty} X_y^{(2)} dx = \int_{-\infty}^{\infty} Y_y^{(2)} dx = 0$$

Так как полоса скреплена с полуплоскостями, то для нее граничные условия (касающиеся напряжений) выглядят так:

$$Y_y^{(0)} = N_y + Y_y^{(2)}, \quad X_x^{(0)} = X_x^{(2)} \quad \text{при } y = \pm a, \quad X_x^{(0)} \rightarrow N_x \quad \text{при } x \rightarrow \pm\infty \quad (1.2)$$

где $X_x^{(0)}$, $X_y^{(0)}$, $Y_y^{(0)}$ — напряжения в полосе.

Отверстия свободны от нагрузок; G_0 , σ_0 , $\nu_0 = 3 - 4\nu_0$ — упругие постоянные полосы (G_0 — модуль сдвига, σ_0 — коэффициент Пуассона), G_1 , σ_1 , ν_1 — упругие постоянные полуплоскостей.

2. Граничные условия для полосы, согласно (1.2); заданы (будем временно считать $X_x^{(2)}$ и $Y_y^{(2)}$ известными). Введем потенциалы Колосова — Мусхелишвили [4], определяющие напряженное состояние полосы:

$$\varphi_0(z) = \Gamma_0 z + \varphi_1(z) + \varphi_2(z), \quad \psi_0(z) = \Gamma_0' z + \psi_1(z) + \psi_2(z) \quad (2.1)$$

$$\Gamma_0 = (N_x + N_y)/4, \quad \Gamma_0' = -(N_x - N_y)/2$$

В (2.1) первое и третье слагаемые относятся к сплошной полосе, второе — результат влияния отверстий. Потенциалы $\varphi_2(z)$ и $\psi_2(z)$ определяются напряжениями $Y_y^{(2)}$, $X_x^{(2)}$ (1.2). Искомые напряжения в полосе представим также в виде нескольких слагаемых в соответствии с (2.1)

$$X_x^{(0)} = N_x + X_x + X_x^*, \quad Y_y^{(0)} = N_y + Y_y + Y_y^*$$

$$X_y^{(0)} = X_y + X_y^*; \quad X_x^* = X_y^{(2)}, \quad Y_y^* = Y_y^{(2)}$$

$$\text{при } y = \pm a, \quad X_x^* \rightarrow 0 \quad \text{при } x \rightarrow \pm\infty$$

где X_x , Y_y , X_y характеризуют влияние отверстий, при $x \rightarrow \pm\infty$ они стремятся к нулю; кроме того, очевидно, $Y_y - iX_x = 0$ при $y = \pm a$.

Поскольку $\varphi_2(z)$ и $\psi_2(z)$ — потенциалы, описывающие напряженное состояние сплошной полосы при действии по ее краям напряжений $Y_y^{(2)}$, $X_x^{(2)}$, то их (эти потенциалы) нетрудно найти используя интегральное преобразование Фурье [5]:

$$\varphi_2(z) = -i \int_{-\infty}^{\infty} H_1(\mu) e^{-iz\mu/a} \frac{d\mu}{\mu} \quad (2.2)$$

$$\psi_2(z) = i \int_{-\infty}^{\infty} \left[\left(1 - \frac{iz\mu}{a} \right) H_1(\mu) + 2H_2(\mu) \right] e^{-iz\mu/a} \frac{d\mu}{\mu}$$

$$H_1(\mu) = \frac{1}{\sqrt{2\pi}} [-T_s(\mu) Y_y^{**} + iT_c(\mu) X_y^{**}]$$

$$H_2(\mu) = \frac{1}{\sqrt{2\pi}} \{ [T_s(\mu) + \mu T_c(\mu)] Y_y^{**} - i\mu T_s(\mu) X_y^{**} \}$$

$$T_s(\mu) = \text{sh } \mu/S(\mu), \quad T_c(\mu) = \text{ch } (\mu)/S(\mu), \quad S(\mu) = 2\mu + \text{sh } 2\mu$$

$$Y_y^{**} = \frac{1}{\sqrt{2\pi}} \int_{-\infty}^{\infty} Y_y^{(2)} e^{i\lambda x} dx, \quad X_y^{**} = \frac{1}{\sqrt{2\pi}} \int_{-\infty}^{\infty} X_y^{(2)} e^{i\lambda x} dx, \quad \mu = \lambda a$$

Теперь можно написать граничные условия для потенциалов $\varphi_1(z)$ и $\psi_1(z)$ (им соответствуют напряжения X_x, X_y, Y_y):

$$\varphi_1'(t) + \overline{\varphi_1'(t)} + t\overline{\varphi_1''(t)} + \overline{\psi_1'(t)} = 0 \quad \text{при } t = x \pm ia \quad (2.3)$$

$$\varphi_1(t) + \overline{t\varphi_1'(t)} + \overline{\psi_1(t)} = 2 \sum_{k=-\infty}^{\infty} \delta_{kj}^* \left(\frac{t-b_j}{R} \right)^k \quad \text{на } L_j \quad (j=1, 2)$$

$$2\delta_{lj}^* = -\delta_{lj}^{(1)} - \overline{\delta_{lj}^{(1)}} - 2\Gamma_0 R, \quad 2\delta_{kj}^* = -\delta_{kj}^{(1)} \quad (k \geq 2)$$

$$2\delta_{-k, j}^* = -(k+1) b_j R^{-1} \delta_{k+1, j}^{(1)} - (k+2) \delta_{k+2, j}^{(1)} - \delta_{kj}^{(2)} - p_k \Gamma_0' R$$

$$\delta_{kj}^{(1)} = -(-i)^{k-1} \frac{\varepsilon_1^k}{k!} \int_{-\infty}^{\infty} \mu^{k-1} H_1(\mu) e^{-ib_j \mu/a} d\mu$$

$$\delta_{kj}^{(2)} = i^{k-1} \frac{\varepsilon_1^k}{k!} \int_{-\infty}^{\infty} \mu^{k-1} \left\{ \left(k+1+i \frac{b_j}{a} \mu \right) H_1(\mu) + 2H_2(\mu) \right\} e^{ib_j \mu/a} d\mu$$

$$b_1 = -b_2 = b, \quad \varepsilon_1 = R/a, \quad p_1 = 1, \quad p_k = 0 \quad \text{при } k \geq 2$$

Здесь необходимо отметить, что $H_1(\mu)$ и $H_2(\mu)$ — четные вещественные функции, поэтому $\delta_{kj}^{(1)}$ и $\delta_{kj}^{(2)}$ вещественны.

Используя методику, развитую в [6-8] (и основанную на методе Д. И. Шермана [2, 3]), представим решение задачи (2.3) в таком виде

$$\varphi_1(z) = \varphi(z) - \sum_{k=0}^{\infty} \alpha_k^* \left[\left(\frac{R}{z-b} \right)^{k+1} + (-1)^k \left(\frac{R}{z+b} \right)^{k+1} \right] \quad (2.4)$$

$$\psi_1(z) = \psi(z) - \sum_{k=0}^{\infty} \beta_k^{(1)} \left[\left(\frac{R}{z-b} \right)^{k+1} + (-1)^k \left(\frac{R}{z+b} \right)^{k+1} \right]$$

$$\beta_k^{(1)} = \beta_k^* + k\varepsilon_3^{-1} \alpha_{k-1}^* + (k-1) \alpha_{k-2}^*, \quad \alpha_{-1}^* = \alpha_{-2}^* = 0, \quad \varepsilon_3 = R/b$$

где $\varphi(z)$ и $\psi(z)$ определяются формулами (2.2) для $\varphi_2(z)$ и $\psi_2(z)$ соответственно, только в последних необходимо $H_1(\mu)$ заменить на $K_1(\mu)$, а $H_2(\mu)$ — на $K_2(\mu)$. При этом имеем

$$K_1(\mu) = \sum_{j=0}^{\infty} A_j(\mu) \{ \alpha_j^* [a_j(\mu) + \gamma(\mu)] - \beta_j^* \} \quad (2.5)$$

$$K_2(\mu) = \sum_{j=0}^{\infty} A_j(\mu) \{ \alpha_j^* [2\mu^2 - b(\mu) a_j(\mu)] + \beta_j^* b(\mu) \}$$

$$A_j(\mu) = \frac{(\varepsilon_1 \mu)^{j+1}}{j!} \frac{\cos(1/2 j \pi + \varepsilon_2 \mu)}{S(\mu)}, \quad a_j(\mu) = j + \frac{(\varepsilon_1 \mu)^2}{j+2}$$

$$\gamma(\mu) = 1 - 2\mu + e^{-2\mu}, \quad 2b(\mu) = 2 - \gamma(\mu), \quad \varepsilon_2 = b/a$$

Заметим, что $K_1(\mu)$, $K_2(\mu)$, так же как и $H_1(\mu)$, $H_2(\mu)$, являются четными вещественными функциями, поэтому здесь приведены их значения только для $\mu > 0$.

Коэффициенты α_j^* , β_j^* определяются из системы уравнений

$$\sum_{j=1}^{\infty} a_{hj}^* x_j = s_h \quad (h=1, 2, 3, \dots), \quad x_{2j+1} = \alpha_j^*, \quad x_{2j+2} = \beta_j^* \quad (2.6)$$

$$s_h = -2\delta_{-(h+1)/2, 1}^* \quad (h=1, 3, 5, \dots), \quad s_h = -2\tau_{h/2} \delta_{h/2, 1}^* \quad (h=2, 4, 6, \dots), \quad \tau_1 = 1/2, \quad \tau_{n \geq 2} = 1$$

Матрица системы (2.6) имеет вид (δ_{ij} — символы Кронекера):

$$a_{2m+1, 2n+1}^* = \delta_{2m+1, 2n+1} - \int_0^{\infty} T_{mn}^*(\mu) [e^{-4\mu} \Omega_{mn}(-\mu) + 2e^{-2\mu} S(\mu)] d\mu +$$

$$+ (n+1) E_{mn} \left[\left(\frac{\varepsilon_3}{2} \right)^2 C_{r+3}^{m+2} - C_{r+1}^{m+1} \right] \quad (2.7)$$

$$a_{2m+2, 2n+2}^* = \tau_{n+1} \delta_{2m+2, 2n+2} - \int_0^{\infty} T_{mn}^*(\mu) d\mu$$

$$a_{2m+1, 2n+2}^* = \int_0^{\infty} T_{mn}^*(\mu) \Omega_m^*(\mu) d\mu + Z_{mn}, \quad a_{2m+2, 2n+1}^* = \int_0^{\infty} T_{mn}^*(\mu) \Omega_n^*(\mu) d\mu + Z_{mn}$$

$$T_{mn}^*(\mu) = \frac{2\varepsilon_1}{(m+1)! n!} \frac{(\varepsilon_1 \mu)^r}{S(\mu)} \cos \left(m \frac{\pi}{2} + \varepsilon_2 \mu \right) \cos \left(n \frac{\pi}{2} + \varepsilon_2 \mu \right)$$

$$\Omega_j(\mu) = e^{-2\mu} [a_j(\mu) + \gamma(-\mu)], \quad \Omega_j^*(\mu) = e^{-2\mu} \Omega_j(-\mu), \quad \Omega_{mn}(\mu) = \Omega_m(\mu) \Omega_n(\mu)$$

$$E_{mn} = \left(\frac{\varepsilon_3}{2} \right)^{r+1} \cos r\pi, \quad r = m+n+1, \quad Z_{mn} = E_{mn} C_r^{m+1},$$

$$C_k^j = \frac{k!}{j!(k-j)!} \quad (m, n=0, 1, 2, \dots)$$

Между элементами матрицы существует зависимость

$$a_{\alpha, \beta}^* / a_{\beta, \alpha}^* = (n+1) / (m+1) \quad (\alpha = 2m+1, 2m+2; \beta = 2n+1, 2n+2) \quad (2.8)$$

Поскольку напряжения $Y_y^{(2)}$ и $X_y^{(2)}$ неизвестны, то правые части s_h в (2.6) также неизвестны. Следовательно, в полученном решении (2.1), (2.2)

(2.4) для полосы необходимо еще определить $H_1(\mu)$ и $H_2(\mu)$, а также α_j^* и β_j^* . Для этого рассмотрим верхнюю полуплоскость.

3. Учитывая симметрию (по координате x) граничных условий (1.1) и используя интегральное преобразование Фурье [5], получим решение для верхней полуплоскости ($y > a$):

$$\varphi_3(z) = -i \int_0^{\infty} M_1(\mu) e^{i\mu} \frac{d\mu}{\mu} + \Gamma_1 z \quad (3.1)$$

$$\psi_3(z) = i \int_0^{\infty} \left[\left(2 + \frac{iz}{a} \right) \mu M_1(\mu) + M_2(\mu) \right] e^{i\mu} \frac{d\mu}{\mu} + \Gamma_1' z$$

$$M_1(\mu) = (2\pi)^{-1/2} (Y_y^{**} + iX_y^{**}), \quad M_2(\mu) = -(2\pi)^{-1/2} (Y_y^{**} - iX_y^{**})$$

$$\Gamma_1 = 1/4 (N_x^* + N_y), \quad \Gamma_1' = -1/2 (N_x^* - N_y), \quad \mu_1 = i(z - ia)\mu/a$$

Здесь по-прежнему Y_y^{**} и X_y^{**} неизвестны.

Теперь можно учесть взаимодействие полосы с полуплоскостями не только в напряжениях, но и в перемещениях

$$u_0' + iv_0' = u_1' + iv_1' \text{ при } y = \pm a \quad (3.2)$$

где штрихами обозначено дифференцирование по x , u_0, v_0 — перемещения в полосе, u_1, v_1 — перемещения в полуплоскостях.

Выпишем выражения для сумм, входящих в (3.2)

$$2G_0(u_0' + iv_0') = \kappa_0 \varphi_0'(z) - \overline{\varphi_0'(z)} - z \overline{\varphi_0''(z)} - \overline{\psi_0'(z)} \quad (3.3)$$

$$2G_1(u_1' + iv_1') = \kappa_1 \varphi_3'(z) - \overline{\varphi_3'(z)} - z \overline{\varphi_3''(z)} - \overline{\psi_3'(z)} \quad (3.4)$$

Далее необходимо проделать следующее: интегралы, входящие в (2.1), преобразовать таким образом, чтобы интегрирование выполнялось от нуля до ∞ ; суммы в (2.4) преобразовать используя формулы

$$\frac{1}{(z - z_0)^n} = \frac{(\pm i)^n}{(n-1)!} \int_0^{\infty} \lambda^{n-1} e^{\mp i\lambda(z-z_0)} d\lambda$$

где верхние знаки относятся к случаю $\text{Im}(z - z_0) < 0$, нижние — к случаю $\text{Im}(z - z_0) > 0$.

После этого, подставив (2.1) в (3.3), а (3.1) — в (3.4) и используя (3.2), получим выражение (его выписать нетрудно), из которого сразу

следует система двух уравнений для Y_y^{**} и X_y^{**} . Используя это выражение (или, что то же, (3.2)) при $x \rightarrow \pm \infty$, получим

$$\frac{\kappa_0 + 1}{G_0} N_x + \frac{\kappa_0 - 3}{G_0} N_y = \frac{\kappa_1 + 1}{G_1} N_x^* + \frac{\kappa_1 - 3}{G_1} N_y$$

Отсюда

$$\frac{\kappa_0 - 3}{G_0} = \frac{\kappa_1 - 3}{G_1}, \quad N_x^* = \frac{\lambda_1}{\lambda_0} N_x, \quad \lambda_j = \frac{\sigma_j}{1 - \sigma_j}$$

Подставив найденные Y_y^{**} и X_y^{**} в $H_1(\mu)$ и $H_2(\mu)$, будем иметь

$$H_1(\mu) = \frac{1}{\Delta(\mu)} \sum_{j=0}^{\infty} \{ \alpha_j^* P_j^{(1)}(\mu) + \beta_j^* P_j^{(2)}(\mu) \} \quad (3.5)$$

$$H_2(\mu) = \frac{1}{\Delta(\mu)} \sum_{j=0}^{\infty} \{ \alpha_j^* R_j^{(1)}(\mu) + \beta_j^* R_j^{(2)}(\mu) \}, \quad \mu > 0$$

$$P_j^{(1)}(\mu) = -A_j(\mu) e^{-2\mu} [\kappa_{21} \Omega_j(\mu) + \kappa_{11} \Omega_j(-\mu)], \quad P_j^{(2)}(\mu) = A_j(\mu) (\kappa_{11} + \kappa_{21} e^{-4\mu})$$

$$R_j^{(1)}(\mu) = 1/2 A_j(\mu) e^{-2\mu} \{ [\kappa_{21} (1-2\mu) - \kappa_{23} e^{2\mu}] \Omega_j(\mu) + [\kappa_{11} (1+2\mu) - \kappa_{22} e^{-2\mu}] \Omega_j(-\mu) \}$$

$$R_j^{(2)}(\mu) = 1/2 A_j(\mu) \{ -\kappa_{11} (1+2\mu) + (\kappa_{22} + \kappa_{23}) e^{-2\mu} - \kappa_{21} (1-2\mu) e^{-4\mu} \}$$

$$\Delta(\mu) = \kappa_{11} + \kappa_{21} e^{-4\mu} + \kappa_{11} \kappa_{21} \kappa_{13}^{-1} t_1(\mu), \quad t_1(\mu) = 1 + 4\mu e^{-2\mu} - e^{-4\mu}$$

$$\kappa_{11} = 1 + \kappa_1 G_0 / G_1, \quad \kappa_{13} = 1 + \kappa_0$$

$$\kappa_{21} = G_0 / G_1 - 1, \quad \kappa_{22} = \kappa_{11} - \kappa_{13}, \quad \kappa_{23} = \kappa_{13} + \kappa_{21}$$

Проделав то же самое с $M_1(\mu)$ и $M_2(\mu)$, приходим к следующим выражениям:

$$M_1(\mu) = \frac{1}{\Delta(\mu)} \sum_{j=0}^{\infty} [\alpha_j^* B_j^{(1)}(\mu) + \beta_j^* B_j^{(2)}(\mu)]$$

$$M_2(\mu) = \frac{1}{\Delta(\mu)} \sum_{j=0}^{\infty} [\alpha_j^* C_j^{(1)}(\mu) + \beta_j^* C_j^{(2)}(\mu)]$$

$$B_j^{(1)}(\mu) = e^{\mu} A_j(\mu) \{ -[\kappa_{13} + \kappa_{21} t_1(\mu)] \Omega_j(\mu) + \kappa_{13} e^{-4\mu} \Omega_j(-\mu) \}$$

$$C_j^{(1)}(\mu) = e^{-\mu} A_j(\mu) \{ \kappa_{13} \Omega_j(\mu) - [\kappa_{11} t_1(\mu) + \kappa_{13} e^{-4\mu}] \Omega_j(-\mu) \}$$

$$B_j^{(2)}(\mu) = \kappa_{21} e^{-\mu} t_1(\mu) A_j(\mu), \quad C_j^{(2)}(\mu) = \kappa_{11} e^{\mu} t_1(\mu) A_j(\mu)$$

Остается определить α_j^* и β_j^* , через которые выражаются искомые потенциалы. Для этого подставим (3.5) в δ_{kj}^* , а последние — в s_k . В результате получим

$$s_k = - \sum_{j=1}^{\infty} a_{kj}^{**} x_j + b_k^* \quad (k=1, 2, \dots); \quad b_1^* = \Gamma_0' R, \quad b_2^* = \Gamma_0 R, \quad b_{k \geq 3}^* = 0 \quad (3.6)$$

Матрицу a_{kj}^{**} запишем так ($m, n=0, 1, 2, \dots$):

$$a_{2m+1, 2n+1}^{**} = \int_0^{\infty} T_{mn}^{**}(\mu) \{ \kappa_{21} \Omega_{mn}(\mu) + \kappa_{11} e^{-4\mu} \Omega_{mn}(-\mu) + 2\kappa_{13} e^{-2\mu} S(\mu) \} d\mu,$$

$$T_{mn}^{**}(\mu) = \frac{1}{\Delta(\mu)} T_{mn}^*(\mu)$$

(3.7)

$$a_{2m+2, 2n+2}^{**} = \int_0^{\infty} T_{mn}^{***}(\mu) (\kappa_{11} + \kappa_{21} e^{-4\mu}) d\mu, \quad a_{2m+1, 2n+2}^{**} = - \int_0^{\infty} T_{mn}^{***}(\mu) K_m^*(\mu) d\mu$$

$$a_{2m+2, 2n+1}^{**} = - \int_0^{\infty} T_{mn}^{***}(\mu) K_n^*(\mu) d\mu, \quad K_j^*(\mu) = e^{-2\mu} [\kappa_{21} \Omega_j(\mu) + \kappa_{11} \Omega_j(-\mu)]$$

Между элементами этой матрицы существует та же зависимость (2.8). Подставляя (3.6) в (2.6), получим бесконечную систему линейных алгебраических уравнений для определения α_n^* и β_n^* :

$$\sum_{j=1}^{\infty} a_{hj} x_j = b_h^*, \quad a_{hj} = a_{hj}^* + a_{hj}^{**} \quad (h=1, 2, \dots) \quad (3.8)$$

где a_{hj}^* и a_{hj}^{**} определяются зависимостями (2.7) и (3.7) соответственно, используя которые можно показать, что система (3.8) является по крайней мере квазирегулярной.

Заметим, что результаты этой работы в какой-то мере могут быть использованы в горном деле [9], а также в машиностроении. В последнем случае «полосу между двумя полуплоскостями можно интерпретировать с некоторым приближением как шов сварного соединения» [10].

4. Перейдем к численному анализу напряженного состояния исследуемой плоскости, который проводился для случая плоской деформации. Значения упругих постоянных были взяты из [10], чтобы можно было сравнить численные результаты для одного и двух отверстий (заметим, что результаты для случая одного симметрично расположенного отверстия можно получить из приведенной выше теории). Первый вариант принятых постоянных: $G_0/G_1=1/4$, $\sigma_1=4\sigma_0=0.4$, $\kappa_0=3-4\sigma_0=2.6$, $\kappa_1=1.4$, $\lambda_0=\sigma_0/(1-\sigma_0)=1/9$, $\lambda_1=2/3$ — для полосы более «мягкой», чем полуплоскости. Второй вариант постоянных: $G_0/G_1=4$, $\sigma_0=4\sigma_1=0.4$, $\kappa_0=1.4$, $\kappa_1=2.6$, $\lambda_0=2/3$, $\lambda_1=1/9$ — для полосы более «жесткой», чем полуплоскости. Кроме того, рассматривался случай однородной плоскости $G_0=G_1$, $\sigma_0=\sigma_1=1/4$.

Часть численного материала приводится в табл. 1–4 (при этом $\varepsilon_1=R/a$ принималось равным 0.1, 0.2, ..., 0.9, $\varepsilon_2=b/a=1$). Вычисления выполнены на ЭВМ БЭСМ-6.

В табл. 1 даны значения напряжения σ_0 (с точностью до множителей N_x или N_y) для контура правого отверстия (угол θ отсчитывается от оси Ox к оси Oy против движения часовой стрелки). Каждому значению ε_1 в таблице соответствуют две строки: верхняя относится к случаю $N_x \neq 0$, $N_y = 0$, нижняя — к случаю $N_x = 0$, $N_y \neq 0$ (для табл. 2 — аналогично). Причем первые шесть строк соответствуют случаю более мягкой полосы, поэтому $N_x^* = (\lambda_1/\lambda_0)N_x = 6N_x$; для случая более жесткой полосы $N_x^* = N_x/6$.

Если полосу рассматривать как пласт с двумя выработками, то приходим к задаче горного дела [9]. В этом случае $N_y = -P$, $N_x = -\lambda_0 P$, $N_x^* = -\lambda_1 P$, $P = \gamma h$, где γ — объемный вес, h — глубина заложения выработки. Для определения σ_0 в этом случае также можно воспользоваться табл. 1. Тогда следует верхнее число умножить на λ_0 и сложить с соответствующим нижним числом, результат умножить на $-P$; это и будет σ_0 (заметим, что $\lambda_0 = 1/9$ для полосы более мягкой и $\lambda_0 = 2/3$ для полосы более жесткой).

Необходимо отметить, что при указанном выше всестороннем сжатии (при $\varepsilon_1 \geq 0.8$) в окрестностях точки $(0, a)$ — полоса более жесткая — и точки (a, R) — полоса более мягкая — наблюдаются незначительные растягивающие напряжения, которые могут стать причиной разрушений.

Табл. 2 содержит значения σ_0 для однородной плоскости (о структуре таблицы сказано выше). Данными табл. 2 можно пользоваться и при определении σ_0 в случае действия равномерного давления по контурам отверстий. Для этого достаточно сложить соответствующие верхнее и нижнее числа, вычесть единицу и получить искомое напряжение с точностью до множителя, равного абсолютной величине давления.

Таблица 1

ε_1	$\theta=0$	30	60	90	120	150	180
0.5	-0.699	0.220	1.821	2.327	1.462	0.074	-0.409
	2.573	1.660	0.073	-0.506	0.194	1.751	2.506
0.7	-0.657	0.322	1.797	1.971	1.217	-0.050	-0.128
	2.473	1.491	0.009	-0.297	0.125	1.700	2.469
0.9	-0.657	0.423	1.766	1.537	1.123	-0.142	-0.134
	2.463	1.371	-0.039	-0.220	-0.035	1.488	3.319
0.5	-1.150	-0.150	2.110	3.340	1.714	-0.263	-0.725
	3.620	2.577	0.079	-1.405	0.430	2.726	3.388
0.7	-1.190	-0.313	2.114	3.940	1.351	-0.565	-0.354
	4.037	3.217	0.507	-1.997	1.148	3.582	4.037
0.9	-1.164	-0.488	2.010	5.211	1.015	-0.647	-0.769
	4.472	4.043	1.509	-2.140	1.833	4.462	8.863

Таблица 2

ε_1	$\theta=0$	30	60	90	120	150	180
0.1	-0.991	0.003	1.990	2.980	1.985	0.002	-0.989
	3.001	2.002	0.006	-0.990	0.009	2.003	3.000
0.2	-0.972	0.011	1.968	2.927	1.934	0.004	-0.948
	3.004	2.008	0.020	-0.964	0.038	2.016	2.997
0.3	-0.948	0.024	1.945	2.852	1.841	-0.004	-0.872
	3.015	2.019	0.036	-0.931	0.091	2.046	2.993
0.4	-0.925	0.037	1.927	2.772	1.710	-0.033	-0.756
	3.034	2.036	0.051	-0.900	0.161	2.104	2.994
0.5	-0.908	0.049	1.916	2.703	1.558	-0.095	-0.609
	3.066	2.062	0.066	-0.881	0.232	2.200	3.020
0.6	-0.899	0.057	1.911	2.650	1.406	-0.189	-0.456
	3.112	2.100	0.083	-0.878	0.286	2.338	3.116
0.7	-0.896	0.059	1.909	2.612	1.271	-0.293	-0.352
	3.174	2.153	0.107	-0.889	0.302	2.503	3.381
0.8	-0.901	0.056	1.905	2.586	1.155	-0.376	-0.378
	3.260	2.228	0.145	-0.913	0.258	2.658	4.034
0.9	-0.916	0.044	1.899	2.569	1.061	-0.399	-0.611
	3.394	2.346	0.209	-0.953	0.104	2.682	5.799

Отметим, что при $N_x=0$, $N_y \neq 0$ в случае однородной плоскости напряжения σ_θ в точке $\theta=0^\circ$ возрастает с увеличением отверстий, в точке $\theta=180^\circ$ вначале (до $\varepsilon_1 \leq 0.3$) падает, а затем возрастает; в случае более мягкой полосы в первой из упомянутых точек оно падает при $\varepsilon_1 \leq 0.8$, а затем возрастает; во второй точке вначале (при $\varepsilon_1 \leq 0.6$) также падает, потом возрастает; в случае более жесткой полосы в обеих точках σ_θ возрастает с увеличением отверстий.

Табл. 3 и 4 содержат величины напряжения $Y_y^{(0)}$ в сечении $y=0$ (точки 1-5 идут от начала координат с шагом $(a-R)/4$ и находятся на отрезке $0 \leq x \leq a-R$,

Таблица 3

№	$\varepsilon_1=0.5$	0.7	0.9	0.5	0.7	0.9
1	1.259	1.717	2.996	1.537	2.861	8.000
2	1.291	1.753	3.015	1.598	2.924	8.050
3	1.409	1.868	3.072	1.811	3.122	8.203
4	1.706	2.088	3.171	2.290	3.477	8.468
5	2.506	2.469	3.319	3.388	4.037	8.863
6	2.573	2.473	2.463	3.620	4.037	4.471
7	1.209	1.315	1.426	1.391	1.643	1.959
8	1.065	1.111	—	0.981	0.976	—

Таблица 4

№	$\varepsilon_1=0.1$	0.2	0.3	0.4	0.5	0.6	0.7	0.8	0.9
1	1.010	1.046	1.118	1.249	1.469	1.818	2.352	3.261	5.235
2	1.012	1.053	1.136	1.280	1.512	1.869	2.412	3.303	5.268
3	1.021	1.086	1.208	1.398	1.668	2.040	2.571	3.433	5.368
4	1.063	1.229	1.445	1.742	2.048	2.401	2.853	3.667	5.541
5	3.000	2.997	2.993	2.994	3.020	3.116	3.381	4.034	5.799
6	3.001	3.004	3.015	3.034	3.066	3.112	3.174	3.261	3.794
7	1.023	1.078	1.152	1.237	1.329	1.426	1.529	1.643	1.779
8	1.002	1.007	1.014	1.024	1.037	1.053	1.073	1.098	—

остальные точки имеют следующие абсциссы: $x_6=a+R$, $x_7=x_6+0.4a$, $x_8=x_7+1.4a$). Левая половина табл. 3 относится к случаю более мягкой полосы, правая — к случаю более жесткой полосы; табл. 4 характеризует однородную плоскость. В таблицах напряжения даны с точностью до множителя N_p .

Поступила 24 I 1979

ЛИТЕРАТУРА

1. Шерман Д. И. О напряжениях в плоской весомай среде с двумя одинаковыми симметрично расположенными круговыми отверстиями. ПММ, 1951, т. 15, вып. 6.
2. Шерман Д. И. К вопросу о напряженном состоянии весомай полуплоскости с двумя заглубленными круговыми отверстиями. Тр. Ин-та физики Земли АН СССР, 1959, № 2 (169).
3. Шерман Д. И. О напряжениях в весомай полуплоскости, ослабленной двумя круговыми отверстиями. ПММ, 1951, т. 15, вып. 3.
4. Мусхелишвили Н. И. Некоторые основные задачи математической теории упругости. М., «Наука», 1966.
5. Уфлянд Я. С. Интегральные преобразования в задачах теории упругости. Л., «Наука», 1967.
6. Мироненко Н. И. Чистый изгиб полосы с двумя круговыми отверстиями. В сб.: Прикладные проблемы прочности и пластичности, № 8. Изд-во Горьковск. ун-та, 1978.
7. Мироненко Н. И. О напряженном состоянии полосы, ослабленной двумя одинаковыми круговыми отверстиями, расположенными в поперечном направлении. ПММ, 1978, т. 42, вып. 5.
8. Мироненко Н. И. О чистом изгибе полосы, ослабленной двумя одинаковыми круговыми отверстиями. Изв. АН СССР. МТТ, 1978, № 6.
9. Ержанов Ж. С., Айгалиев Ш. М., Туебаев М. К. Устойчивость пластовых горных выработок. Алма-Ата, «Наука», 1977.
10. Грилицкий Д. В., Опанасович В. К., Мокрик Р. И., Белокур И. П. О концентрации напряжений возле кругового отверстия в соединенных разнородных пластинах при растяжении. Прикл. механ., 1974, т. 10, вып. 10.